[生物工学会誌 第88巻 第11号 562-569, 2010]

# 長期追跡健康診断データにおける遺伝・環境要因を用いた 生活習慣病リスク決定法

中田 泰徳<sup>1</sup>・加藤 竜司<sup>1</sup>・谷村 大輔<sup>2</sup>・井澤 英夫<sup>2</sup>・安井 健二<sup>8,4</sup>・高瀬 智和<sup>5</sup> 吉田 安子<sup>5,6</sup>・川瀬 三雄<sup>5</sup>・吉田 勉<sup>5,7</sup>・室原 豊明<sup>2</sup>・本多 裕之<sup>1,6\*</sup>

<sup>1</sup>名古屋大学工学研究科, <sup>2</sup>名古屋大学大学院医学系研究科, <sup>3</sup>日本ガイシ健康保険組合, <sup>4</sup>あおやまクリニック, <sup>5</sup>日本ガイシ株式会社, <sup>6</sup>名古屋大学予防早期医療創成センター, <sup>7</sup>名城大学薬学部

(2010年8月5日受付 2010年10月1日受理)

# Determination of combinational genetic and environmental risk factors of lifestyle-related disease by using health check-up data obtained from long-term follow-up

Yasunori Ushida<sup>1</sup>, Ryuji Kato<sup>1</sup>, Daisuke Tanimura<sup>2</sup>, Hideo Izawa<sup>2</sup>, Kenji Yasui<sup>3,4</sup>, Tomokazu Takase<sup>5</sup>, Yasuko Yoshida<sup>5,6</sup>, Mitsuo Kawase<sup>5</sup>, Tsutomu Yoshida<sup>7</sup>, Toyoaki Murohara<sup>2</sup>, and Hiroyuki Honda<sup>1,6\*</sup> (School of Engineering, Nagoya University, Furocho, Chikusa-ku, Nagoya 464-8603<sup>1</sup>; Nagoya University School of Medicine, Tsurumaicho, Showa-ku, Nagoya 466-8550<sup>2</sup>; NGK Health Insurance Society, Sudacho, Mizuho-ku, Nagoya 467-8530<sup>3</sup>; Aoyama Clinic, Sakae 3-7-13, Naka-ku, Nagoya 460-0008<sup>4</sup>; NGK Insulators, Ltd., Sudacho, Mizuho-ku, Nagoya 467-8530<sup>5</sup>; MEXT Innovative Research Center for Preventative Medical Engineering, Furocho, Chikusa-ku, Nagoya 468-8503<sup>7</sup>) Seibutsu-kogaku 88: 562–569, 2010.

Metabolic syndrome or lifestyle-related diseases develop as a result of the interaction between various genetic factors and environmental factors. Based on the health check-up data collected during a long-term follow-up (at least 7 years), we categorized a large sample population (n = 2061 subjects; men = 87%) into 3 groups (case: subjects who developed metabolic syndrome during follow-up; supercontrol: subjects free of lifestyle-related risk components; control: subjects with clinical components similar to those observed in the case subjects before follow-up). A bioinformatics approach was employed to determine the combinational genetic and environmental factors. Two types of prediction datasets were constructed to determine the predictive risk factors to discriminate between (1) case and supercontrol and between (2) case and control groups. By using logistic regression analysis, we found 25 novel risk factor combinations including 66 single nucleotide polymorphisms (SNPs) and 6 environmental factors. Moreover, to search risk factor combinations with high prediction accuracy, we used our Criterion of Detecting Personal Group (CDPG) in this study. We found that the combination of *ADIPOR1* (rs1539355) with an environment factor (smoking) was the most significant predictor of metabolic syndrome. Such risk factor combinations, and not genetic risk factors alone, could help to identify the need to modify life style for prevention of metabolic syndrome.

[**Key words:** health check-up, metabolic syndrome, lifestyle-related disease, risk factor combination, single nucleotide polymorphism]

メタボリック症候群(metabolic syndrome, MetS)は、中心性肥満やインスリン抵抗性、脂質異常、高血圧などを含むさまざまな代謝異常が個人に集積した状態であり、心血管疾患や2型糖尿病の前兆であるり、これらの生

活習慣病の発症には、遺伝要因と環境要因が複雑に相互作用しており<sup>2)</sup>、その要因を特定することは難しいといわれている。これまで男女を分けた解析<sup>3)</sup>、年齢や性別など環境要因によって補正した回帰分析<sup>4)</sup>を行うことに

<sup>\*</sup>連絡先 E-mail: honda@nubio.nagoya-u.ac.jp

より、遺伝要因である一塩基多型(single nucleotide polymorphism, SNP)に関しては生活習慣病関連のリスク要因が数多く同定されている。堀田らりは高度な肥満の症例908例、健常者1495例でロジスティック回帰分析を行い、INSIG2(rs7566605)というSNPがオッズ比1.61で日本人の肥満と関連することを同定した。これらの回帰分析では、遺伝子の関連性のみを探索している。しかしながら、MetSの解明には、遺伝要因と環境要因の両方の関係を考慮することも有効になると考えられる。

本研究では、既知の生活習慣病関連66SNPsと喫煙、飲 酒など6環境因子の相互作用解析に、ロジスティック回 帰分析、および著者らが開発した Criterion of Detecting Personal Group (CDPG) 5) を用い、今回新しく MetS に 関連する遺伝要因と環境要因を網羅的に組み合わせ解析 することで、リスク要因の探索を目指した. これまで、 リスク要因の探索には、ある時点で MetS に該当してい る群と該当していない群の疾患関連因子を比較するケー ス・コントロール研究が主に行われていたがら、本研究 では、企業の健康保険組合が管理する従業員2061名の過 去7年以上にわたる健康診断データが解析できるチャン スを得た. 本解析データは, NGK Study (NCT00408824) として、Clinicaltrials.gov <sup>7</sup> に臨床研究登録されており、 本人の個性に当たるSNPデータの入手を含めた同意が得 られている. SNPデータが入手可能な大規模長期追跡健 康診断データの解析は、日本において前例のないもので ある. リスク要因探索において、遺伝因子は変化しない 素因であるため評価しやすいが、環境因子は生活スタイ ルや年齢で変化しやすいため、正当性を評価することが 困難であることが問題とされていた。しかし、長期間の 追跡調査によってコホートの健康状態の履歴(ログ)と MetS該当の有無が明確となれば、遺伝要因だけでなく環 境要因に関しても正確に評価できると考えられ、通常の 後向き試験では不可能であった、追跡開始時の環境要因 のバイアスを考慮に入れた、汎化性の高いリスク要因を 特定できると考えられた、このような観点から、追跡開 始時と追跡終了時の MetS 該当の有無を考慮したコホー ト分類を行って解析対象を構築し、遺伝要因と環境要因、 両方の組み合わせによるリスク要因の探索、およびMetS の早期予防診断に重要なリスク要因を探索した.

### 解析方法

解析モデル構築スキームの概要を 解析スキーム Fig. 1 に示す. 本研究では、日本ガイシの健康診断受診 者(2061例, 男性:1803例, 女性:258例)の長期追跡 データを解析対象とした. まず. 1999 年以前から 2006 年まで健康診断記録のある対象 1458 例を抽出し解析コ ホートとした。1998年以前の臨床検査項目には、欠損値 も多く見られるので、臨床検査項目の値が確実にそろう 初年度(1999年)から臨床検査項目がある受診者を対象 とした. コホート中の, 1999年以前の追跡開始時と2006 年の腹囲(追跡開始時は BMI), 血圧値, 血糖値, 中性 脂肪, HDL コレステロール値の臨床検査項目値を調査 することで、追跡開始時は MetS ではなく、追跡期間中 に新たに MetS に該当すると診断された症例 78 例 (Case), 追跡期間中, これらの臨床検査項目値が正常で あり、MetS にはまったく該当しない健常者 188 例 (Supercontrol), 追跡開始時点ではCaseとこれらの臨床 検査項目値が類似したが、追跡期間中に MetS に該当し ないと診断された症例76例(Control)を3つの群とし て選抜した. MetS 関連リスク要因の探索では、Case と Supercontrolの比較(解析対象1), CaseとControlの比 較 (解析対象2) という2つの解析対象を構築し,リスク

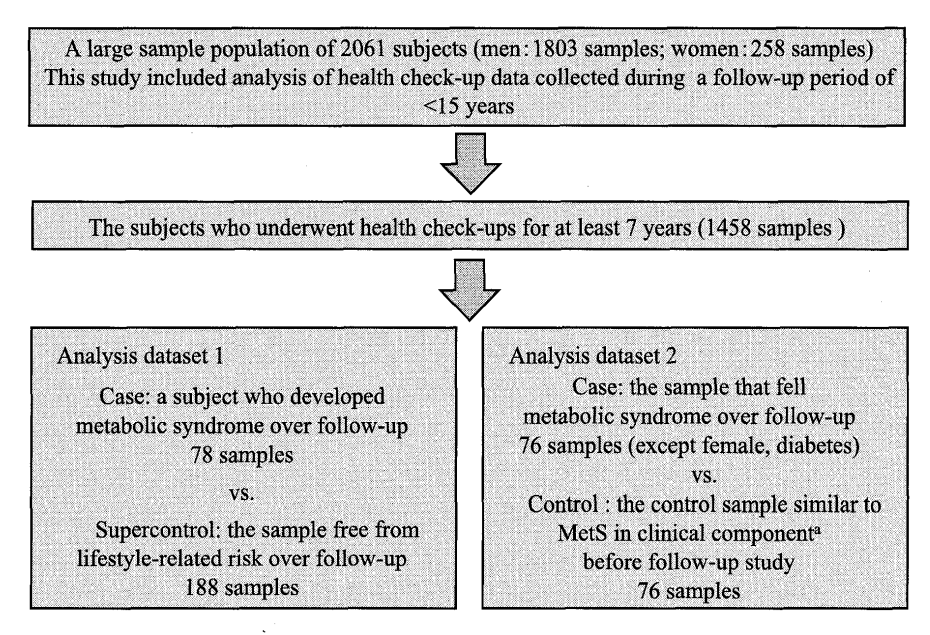


Fig. 1. Analysis model of metabolic syndrome. <sup>a</sup> Clinical test components: age, BMI, systolic blood pressure, diastolic blood pressure, total cholesterol, triglycerides, HDL cholesterol, glucose.

要因を探索した. 本解析対象は大規模な長期追跡健康診断 データを用いて作成され、SNPのリスク要因まで解析で きる、これまでとは比較できないほど貴重な対象である.

解析項目 ロジスティック回帰分析では、リスク要 因の項目として、生活習慣病と関連報告のある66SNPs, および喫煙, 飲酒, 高血圧該当, 糖尿病該当, 高脂血症 該当、高尿酸血症該当の6環境因子を用いた、SNPは major (AA), hetero (Aa), minor (aa) という3つの アレルタイプを, dominant (AA vs. Aa + aa), recessive (AA + Aa vs. aa) によって識別した. CDPG 解析では、 66SNPsと喫煙、飲酒、高尿酸血症該当の3環境因子をリ スク要因項目とした. この3環境因子は. 高血圧. 糖尿 病、高脂血症とは違い、MetSの判断基準には直接該当し ないため、喫煙がリスク要因であれば、喫煙を控えると いったように、リスク要因と選択された場合にアドバイ ス可能な項目である.

解析手法 最初に、Case、Supercontrol (or Control) という2群ラベルを従属変数、1SNPを独立変数としたロ ジスティック回帰分析により、P value < 0.05 の基準で MetS 関連 SNP を選択した. 次に、これまでの解析では 行われなかったSNPと環境因子の網羅的組み合わせ解析 を行った. まず、1SNP + 1環境因子を独立変数とし、計 792 通り(66SNPs × 2(dominant or recessive)× 6 環 境因子) の組み合わせに対して網羅的にロジスティック 回帰分析を行い、SNP、環境因子ともP value < 0.05 と なる MetS に関連するリスク要因を選択した、そして最 後に、ISNP + 1環境因子を独立変数とし、CDPGによっ て、計396通り (66SNPs × 2 (dominant or recessive) × 3環境因子)の中から、MetSの予測に必要なリスク要因 を探索した. CDPG は、式(1) で表わされ、複数のリ スク要因から、患者の推定に必要なリスク要因のみを探 索する基準である5. 本研究では、ロジスティック回帰 分析(独立変数:1SNP+1環境因子)で選択されたリス ク要因から、患者がリスク要因を持ち、健常者がリスク 要因を持たない要因を順番に選択した.

$$CDPG = \max \left\{ \frac{N_{Case}^{m}}{N_{Case}} - \frac{N_{Control}^{m}}{N_{Control}} \right\} \qquad \overrightarrow{\mathbb{R}} (1)$$

 $N_{\it Case}$ : Caseの症例数  $N_{\it Control}$ : Controlの症例数

 $N_{Case}^m$ : m個のリスク要因のうち1つ以上に該当するCase症例数

N" Control: m個のリスク要因のうち1つ以上に該当するControl症例数

CDPGは発症未知者が患者になるか推定する有効な手 法であり、ある発症未知者が選択したリスク要因いずれか をもった場合、患者と推定し、当てはまるリスク要因を 発症要因と推定する. 一方, いずれのリスク要因にも当 てはまらない場合、健常者と推定することが可能になる. 以上のように、ロジスティック回帰分析(独立変数:

1SNP+1環境因子)とCDPG解析を組み合わせることに

より、これまでの解析では行われなかったSNPと環境因 子の網羅的組み合わせ解析を実施し、リスク要因を探索 した.

# 結

全コホートの評価 まず著者らは、全コホート情報 を統計的に評価することで、解析コホートとしての妥当 性を検証した. 最長15年に及ぶ一般企業の健康診断受診 者(2061例, 男性:1803例, 女性:258例) のうち、過 去7年以上の診断記録のある対象が1458例で、そのうち 現在(2006年) MetS と診断される人は 151 例(平均年 齢44.5歳), その割合は10.4% (=151例/1458例) であっ た. 厚生労働省2004年国民健康・栄養調査の概要に基づ くと、日本におけるMetSの年齢別割合は、「30歳代で4.0 %, 40歳代で10.3%, 50歳代で14.2% (男女の平均値)」 であり、本コホートデータにおける MetS の割合 10.4% は、40歳代の全国平均10.3%とほぼ同程度であった。ま た、1999年以前の追跡開始時と2006年の臨床検査項目 値から、7年以上の追跡期間中に新たにMetSに該当した 受診者は78例、5.3% (=78例/1458例) であった. 全国 平均においても、解析データの追跡期間と類似した30歳 代から40歳代の10年間の経年変化でMetS割合が6.3% (30歳代4.0%→40歳代10.3%) 増加しており, 追跡期間 中の MetS 増加割合も全国平均と同程度であった. 以上 のことから本解析コホートは、バイアスのない解析コ ホートであるといえる.

著者らは,全コホートデータ中 解析コホート評価 からCase vs. Supercontrolの解析対象, Case vs. Control の解析対象を選択した. そして、リスク要因を特定する 前に、これらの解析対象が今回の長期追跡調査データの 利点であるバイアスやノイズの少ないデータであるか, 追跡調査開始時の臨床検査項目を検討した(Table 1). Case vs. Supercontrolの比較(解析対象 1)では、飲酒、 糖尿病, 年齢項目を除いて, 解析対象間に差が見られた (P value < 0.05). 一方, Case vs. Control の比較(解析 対象 2) では、高脂血症を除いて、解析対象間に差は見 られなかった. このことから、Case vs. Supercontrol と いう対象群は、MetSという症状をより正確に診断するた めのリスク項目を探索するのに有用であり、Case vs. Controlという対象群は、MetSを予知するためのリスク 要因を探索するのに有用であるといえる.

ロジスティック回帰分析(独立変数:1SNP) 対象1, リスク要因Case vs. Supercontrol および,解析対象 2. Case vs. Controlの比較対象群において、生活習慣病と の関連が示唆される遺伝要因(66SNPs)に関して、1SNP ずつを独立変数としたロジスティック回帰分析を行った. 解析対象 1 では、66SNPs 中 7SNPs で、解析対象 2 では、 5SNPsでMetSとの有意な関連性が見られた(Table 2a). 解析対象1では、中でもADIPOR1 (rs1539355) dominant

Table 1. Clinical characteristics of the case, supercontrol and control groups (Characteristics before the follow-up study).

		Analysis dataset 1					Analysis dataset 2					
	Case (N=78)		Supercontrol (N=188)		)	Case (N=76)		Control (N=76)				
	N	%	N	%	P value <sup>a</sup>	N	%	N	%	P value		
Sex, Male	77	98.72	152	80.85	< 0.001	76	100.00	76	100.00	1		
Smoking	52	66.67	82	43.62	< 0.001	50	65.79	44	57.89	0.241		
Drinking	64	82.05	146	77.66	0.405	62	81.58	55	72.37	0.173		
Hypertension	17	21.79	0	0.00	< 0.001	17	22.37	12	15.79	0.409		
Diabetes	1	1.28	0	0.00	0.293	0	0.00	0	0.00	1		
Hyperlipemia	25	32.05	0	0.00	< 0.001	23	30.26	36	47.37	0.045		
Hyperuricemia	10	12.82	2	1.06	< 0.001	10	13.16	9	11.84	1		

	Analysis dataset 1					Analysis dataset 2					
	Case (N=78)		Supercontrol (N=188)		3)	Case (N=76)		Control (N=76)			
	Mean	SD	Mean	SD	$P$ value $^{\mathrm{b}}$	Mean	SD	Mean	SD	P value <sup>b</sup>	
Age (year)	31.5	7.5	30.1	4.7	0.156	31.3	7.6	33.1	4.7	0.084	
Height (cm)	171.8	5.8	168.7	7.1	< 0.001	172.2	5.4	170.6	5.9	0.098	
Weight (kg)	68.0	5.9	57.9	7.3	< 0.001	68.2	5.8	66.6	6.5	0.115	
BMI (kg/m²)	23.0	1.4	20.3	1.9	< 0.001	23.0	1.4	22.8	1.5	0.538	
Systolic blood pressure (mmHg)	129.9	12.4	115.8	10.9	< 0.001	130.0	12.5	127.5	11.2	0.203	
Diastolic blood pressure (mmHg)	78.3	9.2	69.3	6.8	< 0.001	78.5	9.3	76.2	5.8	0.064	
Total cholesterol (mg/dl)	188.7	29.7	164.9	21.3	< 0.001	187.0	28.5	192.6	33.2	0.302	
Triglycerides (mg/dl)	147.9	74.7	72.0	34.2	< 0.001	148.1	75.9	138.0	66.1	0.428	
HDL cholesterol (mg/dl)	48.5	11.5	57.8	9.7	< 0.001	48.2	11.0	50.7	7.7	0.154	
Glucose (mg/dl)	92.2	9.7	87.9	7.9	0.006	92.1	9.8	94.6	7.7	0.132	

<sup>&</sup>lt;sup>a</sup> P values were analyzed using Fisher's exact probability test.

において最も有意な関連が示された(オッズ比 = 2.65, P value = 0.007). オッズ比は,リスク要因に該当する場合に,MetSに該当するリスクが何倍増加するかを示した指標である.またAPOAI(rs11216158),APOC3 (rs2854117)は,解析対象 1,2 の両方で有意な関連が示された.この解析結果は,これまでの解析では不可能であった,大規模な長期追跡健康診断データを用いて作成された,より信頼性の高い解析結果である.

ロジスティック回帰分析(独立変数:1SNP+1環境因 子) 次に、これまでの解析では行われなかった SNP と環境因子の網羅的組み合わせ解析を行った. 1SNP+1 環境因子を独立変数とし、網羅的にロジスティック回帰 分析を行ったところ、解析対象1で25の組み合わせがリ スク要因として選択された(Table 2b). Table 2b. SNP RISK は、ロジスティック回帰分析(独立変数:1SNP) によりSNPがリスクであった場合のオッズ比, environmental factor RISK は、ロジスティック回帰分析(独立 変数:1環境因子)により環境因子がリスクであった 場合のオッズ比, SNP & environmental factor RISK は, ロジスティック回帰分析(独立変数:1SNP+1環境因子) により SNP と環境因子の両方ともがリスクであった場 合のオッズ比を示す. LEPR (rs1137110) は, 高血圧該 当,高脂血症該当,高尿酸血症該当,喫煙との4組み合 わせが選択された. ADIPOR1 (rs1539355), APOA1 (rs11216158), APOC3 (rs2854117) は, 高血圧該当,

高尿酸血症該当, 喫煙との3組み合わせが選択された. また, 解析対象2において, 組み合わせリスク要因は選択されなかった.

**CDPGを用いたMetSの予測** 最後に、上述の2つの解析対象群に対してCDPGを用いることで、MetSの予測に必要なリスク要因を探索した.

解析対象 1 では、ロジスティック回帰分析(独立変数:1SNP+1環境因子)で選択された組み合わせリスク要因に対して、CDPG 解析を行ったところ、ADIPOR1 (rs1539355)、AAのジェノタイプと喫煙の組み合わせがMetS の推定に必要な唯一のリスク要因として選択され、このリスク要因をもつ人をCase として推定し、持たない人をSupercontrol として推定した場合、正答率は70.34%であった(Fig. 2). ADIPOR1 (rs1539355) と喫煙の両方ともリスク要因を保有するグループ(A)とそれ以外のグループ(B)に分けた場合、AはBよりもMetSに該当するリスク(オッズ比)は4.21倍と高く、このリスク要因との関連性の検出力は、有意水準 $\alpha=2.53\times10^{-4}$ (=0.05/66SNPs/3環境因子)、Case と Supercontrol のサンプル比を本解析と同様、Case 76例、Supercontrol 187例とした場合、検出力は93.23%であった。

また、解析対象 1 において *ADIPOR1* (rs1539355) と喫煙のリスク要因保有と追跡前、追跡後の BMI 変化の関係を調査した (Fig. 3). *ADIPOR1* (rs1539355), 喫煙の両方ともリスク要因を保有するグループ (SNP &

<sup>&</sup>lt;sup>b</sup> P values were analyzed using Welch's t test.

Table 2. The selected risk factors with logistic regression analysis.

(a) Follow-up study results for 66 SNPs (includes all signals with P < 0.05).

		Analysis dataset	1		RISK fr	equency(%)	Logistic regression analysi	
SNP identifier	Gene	Model	RISK genotype	NO RISK genotype	Case (N=78)	Supercontrol (N=188)	Odds ratio (95%CI)	P value
rs1539355	ADIPOR1	dominant	AA	AG + GG	86	70	2.65 (1.30-5.39)	0.007
rs7539542	ADIPOR1	dominant	GG	CG + CC	74	61	1.84 (1.02-3.31)	0.042
rs11216158	APOA1	dominant	CT + TT	CC	42	28	1.87 (1.08-3.24)	0.026
rs662799	APOA5	dominant	AG + GG	AA	62	48	1.74 (1.02-2.99)	0.043
rs662799	APOA5	recessive	GG	AA + AG	17	8	2.31 (1.04-5.11)	0.039
rs2854117	APOC3	recessive	CC + CT	TT	86	72	2.39 (1.17-4.88)	0.016
rs7965413	VWF	dominant	CT + TT	CC	74	62	1.80 (1.00-3.24)	0.050
rs1137100	LEPR	dominant	GG	AG + AA	72	55	2.18 (1.21-3.91)	0.009

		Analysis dataset	2	RISK free	quency (%)	Logistic regression analysis		
SNP identifier	Gene	Model	RISK genotype	NO RISK genotype	Case (N=76)	Control (N=76)	Odds ratio (95%CI)	P value
rs388915	AGTR1	dominant	AA	AG + GG	89	76	2.64 (1.07-6.51)	0.035
rs5186	AGTR1	dominant	AC + CC	AA	26	13	2.36 (1.02-5.45)	0.045
rs11216158	APOA1	dominant	CT + TT	CC	42	25	2.18 (1.09-4.35)	0.027
rs2854117	APOC3	recessive	CC + CT	TT	86	70	2.56 (1.15-5.73)	0.022
rs12953	PECAM1	dominant	CC	CT + TT	28	11	3.25 (1.33-7.89)	0.009

(b) Follow-up study results for combinations of 66 SNPs with 6 environmental factors (includes all signals with SNP P < 0.05 and environmental factor P < 0.05).

		Analysis dataset	1	Odds ratio (95%CI)				
SNP identifier	Gene	RISK genotype	NO RISK genotype	Environmental factor	SNP RISK	Environmental factor RISK	SNP & environmental factor RISK	
rs1539355	ADIPOR1	AA	AG + GG	Hypertension	2.65 (1.30-5.39)	13.3 (4.29-41.0)	35.8 (5.3-241)	
rs662799	APOA5	GG	AA + AG	Hypertension	2.31 (1.04-5.11)	13.3 (4.29-41.0)	33.0 (4.6-238.7)	
rs6141	THPO	CT + TT	CC	Hypertension	1.53 (0.85-2.77)	13.3 (4.29-41.0)	34.5 (5.5-218.8)	
rs7539542	ADIPOR1	GG	GC + CC	Hypertension	1.84 (1.02-3.31)	13.3 (4.29-41.0)	32.6 (5.4-198.4)	
rs11216158	APOA1	CT + TT	$^{\rm CC}$	Hypertension	1.87 (1.08-3.24)	13.3 (4.29-41.0)	30.8 (5.4-174.7)	
rs2854117	APOC3	CC + CT	TT	Hypertension	2.39 (1.17-4.88)	13.3 (4.29-41.0)	38.2 (5.5-264.7)	
rs1137100	LEPR	GG	GA + AA	Hypertension	2.18 (1.21-3.91)	13.3 (4.29-41.0)	29.0 (4.9-174)	
rs1255998	ESR2	GG	GC + CC	Hyperlipemia	1.55 (0.88-2.71)	26.4 (9.28-75.3)	120 (16-898)	
rs1799983	NOS3	GT + TT	GG	Hyperlipemia	0.83 (0.39-1.75)	26.4 (9.28-75.3)	96.0 (10.7-858.7)	
rs1799883	FABP2	CT + TT	CC	Hyperlipemia	1.26 (0.74-2.17)	26.4 (9.28-75.3)	92.5 (11.8-724.1)	
rs1137100	LEPR	GG	GA + AA	Hyperlipemia	2.18 (1.21-3.91)	26.4 (9.28-75.3)	67.0 (9.0-500.5)	
rs1539355	ADIPOR1	AA	AG + GG	Hyperuricemia	2.65 (1.30-5.39)	13.7 (2.92-64.0)	30.3 (3.1-295.2)	
rs662799	APOA5	AG + GG	AA	Hyperuricemia	1.74 (1.02-2.99)	13.7 (2.92-64.0)	30.0 (3.6-251.8)	
rs11216158	APOA1	CT + TT	$^{\rm CC}$	Hyperuricemia	1.87 (1.08-3.24)	13.7 (2.92-64.0)	27.8 (3.3-232.2)	
rs2854117	APOC3	CC + CT	TT	Hyperuricemia	2.39 (1.17-4.88)	13.7 (2.92-64.0)	32.9 (3.3-327.2)	
rs7965413	VWF	CT + TT	$\mathbf{CC}$	Hyperuricemia	1.80 (1.00-3.24)	13.7 (2.92-64.0)	26.7 (3.1-233.2)	
rs1137100	LEPR	GG	GA + AA	Hyperuricemia	2.18 (1.21-3.91)	13.7 (2.92-64.0)	47.9 (3.3-703.9)	
rs1539355	ADIPOR1	AA	AG + GG	Smoking	2.65 (1.30-5.39)	2.77 (1.58-4.87)	11.5 (3.0-43.2)	
rs662799	APOA5	GG	AA + AG	Smoking	2.31 (1.04-5.11)	2.77 (1.58-4.87)	7.11 (1.72-29.35)	
rs1255998	ESR2	GG	CG + CC	Smoking	1.55 (0.88-2.71)	2.77 (1.58-4.87)	5.64 (1.76-18.10)	
rs1255998	ESR2	GG + CG	CC	Smoking	2.08 (0.99-4.38)	2.77 (1.58-4.87)	6.24 (1.65-23.64)	
rs7539542	ADIPOR1	GG	CG + CC	Smoking	1.84 (1.02-3.31)	2.77 (1.58-4.87)	6.38 (1.95-20.94)	
rs11216158	APOA1	CT + TT	CC	Smoking	1.87 (1.08-3.24)	2.77 (1.58-4.87)	6.08 (1.93-19.16)	
rs2854117	APOC3	CC + CT	TT	Smoking	2.39 (1.17-4.88)	2.77 (1.58-4.87)	6.05 (1.61-22.66)	
rs1137100	LEPR	GG	AG + AA	Smoking	2.18 (1.21-3.91)	2.77 (1.58-4.87)	5.67 (1.73-18.52)	

Smoking RISK)は、SNP のみのリスク要因を保有する グループ(SNP RISK)、喫煙のみのリスク要因を保有するグループ(Smoking RISK)、リスク要因をまったくもた ないグループ(NO RISK)と比べて、追跡前後で明らかな BMI の上昇が見られた(追跡前 BMI 平均値 = 21.84

[kg/m<sup>2</sup>],追跡後BMI平均值 = 23.41 [kg/m<sup>2</sup>],P value =  $3.24 \times 10^{-5}$ ).

一方,解析対象2では、ロジスティック回帰分析(独立変数:1SNP+1環境因子)と同様,MetSの予測に必要なリスク要因は選択されなかった.

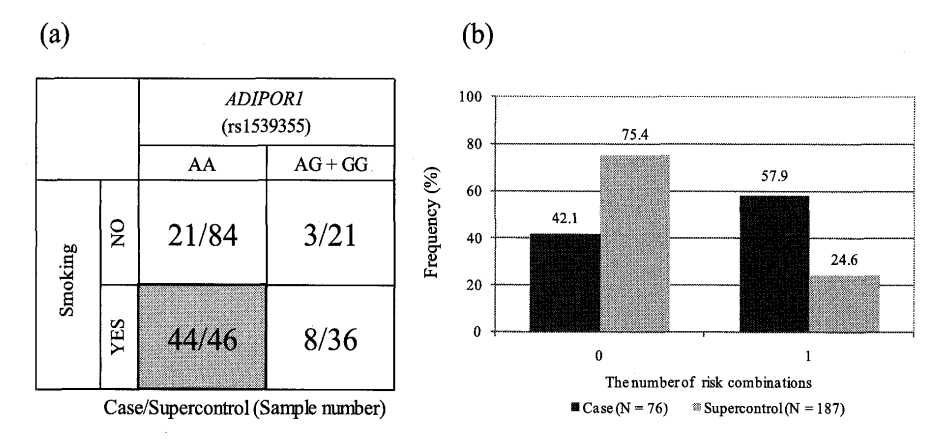


Fig. 2. Results of the CDPG combination analysis (analysis dataset 1). (a) Risk factor combinations selected by CDPG. (b) Accuracy of the prediction of metabolic syndrome by using CDPG. The prediction accuracy in analysis dataset 1 was 70.34%. Prediction accuracy is the percentage of correctly predicted numbers (MetS numbers: samples that have assigned to more than 1 risk factor by CDPG; Non-MetS numbers: samples that have not been assigned to any risk factor) in the total sample numbers.

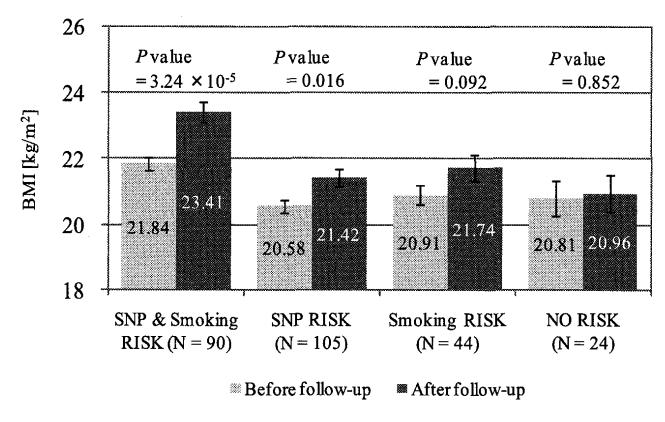


Fig. 3. Comparison of BMI variation in each risk group (analysis dataset 1). *P* values were analyzed using Welch's *t* test. The error bar indicates SEM.

解析結果のまとめ 解析結果の要約図を Fig. 4 に示す. これまでの解析では不可能であった,SNPデータを含む大規模な長期追跡健康診断データを用いて,まず独立変数を 1SNPとして1DVの1DV

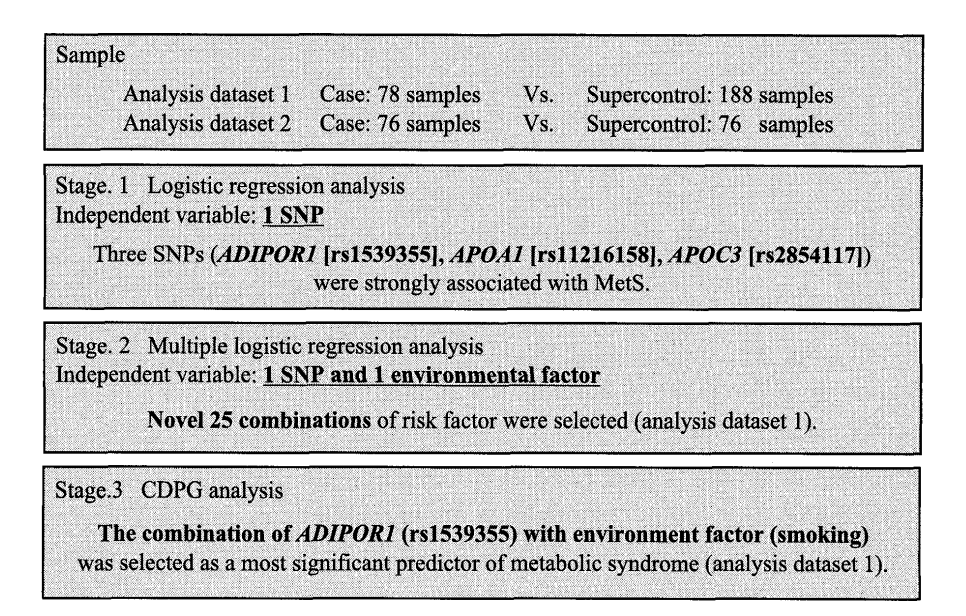


Fig. 4. Summary of the analysis results.

# 考 察

長期追跡データの重要性 本研究の解析対象は 2061 例と非常に大規模,かつ7年以上の追跡調査結果と いうデータであり、MetS 該当頻度も通常と同等であっ た. このため本解析から得られたリスク要因は、十分に 他の解析対象にも応用できるものである. ロジスティッ ク回帰分析, CDPGを用いたリスク要因の探索において, 本研究では長期間の追跡調査データという利点を生か し, Case vs. Supercontrolの比較および, Case vs. Control の比較のための解析対象を構築することができた. 従来 のケース・コントロール研究や大きなサンプル集団のメ タ解析8では、多くの場合比較する対象群そのものに年 齢, BMI, 収縮期血圧, 拡張期血圧, 中性脂肪, HDLな どの臨床検査項目値においてすでに大きな有意差があ る. しかしながら本研究では、Caseとして追跡前はMetS でなく、追跡後にMetSに該当した症例を用いており、従 来の解析対象群に含まれる背景的なバイアスやノイズを 大きく低減できていると考えられる. また、解析対象2 では、臨床検査項目値のほぼすべてにおいて有意差がな い、すなわち背景因子のほぼ同等な対象集団を比較する ことができている. SNPデータが入手可能な大規模長期 追跡健康診断データの解析は、日本において前例のない ものであり、このようなモデルから得られたリスク要因は 非常に汎化性・精度の高いものであることが期待できる.

また、今回のコホートの特徴は企業従業員であるという点が挙げられる。一般市民を対象にしたコホート研究では、定期的な追跡調査が非常に困難で脱落者が生じやすい。しかし、企業従業員をコホートとする場合、企業内の移動は考えられるものの、退職までは確実にデータが取得できる可能性が高い。このため、企業従業員のデータはコホート研究にはきわめて有用であると言える。

## 遺伝・環境要因の網羅的な組み合わせ解析の重要性

本研究では、これまでの解析では行われなかったSNP と環境因子の網羅的組み合わせ解析を行うことで. ADIPOR1 (rs1539355) と喫煙など、組み合わせとして 25のMetSリスク要因を選択できた. これまでの報告では、 (1) SNP が MetS と関連する, (2) 喫煙, 飲酒, 高血圧 該当, 糖尿病該当, 高脂血症該当, 高尿酸血症該当など の環境要因がMetSと関連する、という報告はされている が、今回のようなSNP、環境要因の組み合わせリスク要 因としての報告は少ない. また網羅的な組み合わせ(独 立変数:1SNP+1環境因子) に対して、ロジスティック 回帰分析、CDPG解析を行うことで、たとえばADIPOR1 (rs1539355) は、6環境要因の中でも特に喫煙との組み 合わせでリスクが高いことを発見した.このように、SNP がどの環境因子と組み合わさると最もリスクが高くなる か評価することは、これまで行われてこなかったことで あり、後で述べる早期予防診断の可能性も考えると、本 研究における網羅的な組み合わせ解析は非常に重要であるといえる.

Apolipoprotein遺伝子の影響 本研究のロジス ティック回帰分析(独立変数: 1SNP) において, APOA1 (Apolipoprotein A-I, rs11216158), APOC3 (Apolipoprotein C-III, rs2854117) が,解析対象1,解析対象2の両方か らMetSの関連SNPとして選択された. APOA1/C3/A4/A5 遺伝子は染色体11番領域に集合しており、密接に関与し ている. 今回選択されたAPOAIはHDLの主要タンパク 質として、組織から肝臓までのコレステロール流出を促 進する役割を担い、APOAIの減少は冠動脈疾患や糖尿病 に影響を与える. 超低密度リポタンパク質(VLDL)タ ンパク質であるAPOC3は、リポタンパク質リパーゼと肝 臓リパーゼを阻害し、トリグリセリドの豊富な粒子の異 化を遅らせるといわれ、APOC3の増大は高中性脂肪血症 を発生させる. また, APOA1/C3/A4/A5 遺伝子上に存在 しているSNPが中性脂肪濃度の上昇, LDL粒子サイズと 関連することも知られている9. このことから、APOA1 (rs11216158), APOC3 (rs2854117) は、MetSの中でも 腹囲、中性脂肪や HDL といった脂質代謝に関連した因 子として選択されたのではないかと考えられる.

Adiponectinと喫煙の関係 Adiponectinは2型糖尿 病や肥満、心血管疾患などで低下する唯一の脂肪由来の サイトカインであり<sup>10)</sup>, Adiponectin濃度とMetSの関連 報告<sup>11)</sup>, Adiponectin をコードしている ADIPOQ の SNP と Adiponectin 濃度、2型糖尿病との関連報告があり12)、 本研究で選択されたADIPOR1 (Adiponectin receptor 1, rs1539355) が MetS と関連している可能性が十分考え られる. また. 喫煙者と非喫煙者の比較. マウスへのニ コチンと酸化ストレス投与実験によって、 喫煙により Adiponectin濃度が減少することが報告されている13). 検 出力をみても、ADIPOR1 (rs1539355) と喫煙のMetSと の関連を評価するのに十分なものであった. このような ことから、本研究解析対象1の組み合わせ解析で選択さ れた*ADIPOR1* (rs1539355) と喫煙の組み合わせリスク 要因の信頼性は高いものであるといえる.

遺伝・環境要因の組み合わせによる早期予防診断の可能性 本研究において、これまでの解析では行われなかった、SNPと環境因子を網羅的に組み合わせて、ロジスティック回帰分析(独立変数: ISNP+1 環境因子)、CDPG解析を用いることで、遺伝要因と環境要因の組み合わせリスクの可視化を実現し、複数の組み合わせ要因を提案した(Table 2b、Fig. 2a). MetS や生活習慣病は遺伝要因、環境要因が複雑に相互作用して発症するものであるため、このような両要因の組み合わせを知ることは、より正確な疾患の原因を突き止めることにつながる。また、MetSの治療改善法として生活習慣の指導が行われることが多いが、具体的でない生活全般の改善は非常にストレスが大きく、長く続かないことが多い。しかし、

本研究結果のように、生活習慣の改善項目を具体的に個々の遺伝要因と関連して指導することで、ストレスの少ない持続性の高い治療効果が期待できると考えられる. たとえば、本研究結果からは、ADIPOR1 (rs1539355)が AA という遺伝要因を持つ人には、環境要因の中でも特に喫煙を控えるアドバイスが可能であると言える. また、本研究結果からは選択されなかったが、高尿酸血症に該当する場合には、食事をコントロールするようにアドバイスする、飲酒に該当する場合には、飲酒を控えるようアドバイスすることも可能である. さらに本解析データのように長期の追跡調査データがある場合には、追跡調査後の臨床検査項目の変化 (Fig. 3)を示すような指導ができれば生活習慣改善に対する動機付けの向上につながると期待できる.

今後の課題 本研究はコホート解析であるため、レトロスペクティブ解析で使用される症例と比べて、追跡期間中に新しく MetS に該当した症例が少なかった。解析対象2の組み合わせ解析でリスク要因が一つも選択されなかった要因として、症例数の少なさがあげられる。今後、本研究で得られたリスク要因の正当性の立証および新たなリスク要因の探索には、別の大型コホート研究での確認検証および更なる追跡により、症例が増えることが必要になるであろう。

また、本研究で遺伝要因の探索候補とした66SNPsは、生活習慣病との関連がこれまでの研究で示唆されたSNPに限定しており、ゲノムワイド関連解析<sup>14)</sup>と比べると対象SNP数は少ない.解析に用いた環境因子項目も、喫煙、飲酒、高血圧該当、糖尿病該当、高脂血症該当、高尿酸血症のみである.このため、さらなる遺伝因子、運動習慣などの環境因子の解析が、新しいリスク組み合わせの探索のために重要であろう.

#### 要 約

メタボリック症候群などの生活習慣病は、遺伝要因と環境要因が複雑に相互作用して発症するといわれている。本研究では、最長15年に及ぶ一般企業の健康診断受診者(2061例、男性:1803例、女性:258例)から過去7年以上の診断記録のある1458例の追跡データを解析対象とし、これまでの解析では行われなかった、遺伝因子と環境因子の網羅的な組み合わせ解析により、25のメタボリック症候群関連リスク要因を選択し、中でもADIPOR1(rs1539355)と喫煙の組み合わせが最も有力なメタボリック症候群予測因子として選ばれた。本研究の解析対象は、過去7年以上の診断記録のある対象が1458例で、企業従業員という安定した長期の追跡調査データであるためMetSに該当した患者だけでなく、MetSに該当しつのある患者予備軍に関係するリスク要因を探索することができた。本研究のように遺伝因子と

環境因子とのリスク要因の組み合わせを発見することは、個々の遺伝背景に応じた限定した生活習慣改善項目を指導することが可能となるため、本解析で示すような 多因子疾患の早期予防診断手法が今後有効になると期待 される.

本研究は、文部科学省の平成18年度科学技術振興調整費による「先端融合イノベーション創出拠点の形成」プログラムの一環として実施された「分析・診断医工学による予防早期医療の創成」プロジェクトの研究成果の一部を取りまとめたものである。

### 文 献

- Grundy, S. M., Cleeman. J. I., Daniels, S. R., Donato, K. A., Eckel, R. H., Franklin, B. A., Gordon, D. J., Krauss, R. M., Savage, P. J., Smith, S. C. Jr., Spertus, J. A., and Costa, F.: Circulation, 112, 2735–2752 (2005).
- 2) Willet, W. C.: Science, 296, 695-698 (2002).
- Yamada, Y., Izawa, H., Ichihara, S., Takatsu, F., Ishihara, H., Hirayama, H., Sone, T., Tanaka, M., and Yokota, M.: N. Engl. J. Med., 347, 1916–1923 (2002).
- 4) Hotta, K., Nakamura, M., Nakata, Y., Matsuo, T., Kamohara, S., Kotani, K., Komatsu, R., Itoh, N., Mineo, I., Wada, J., Masuzaki, H., Yoneda, M., Nakajima, A., Miyazaki, S., Tokunaga, K., Kawamoto, M., Funahashi, T., Hamaguchi, K., Yamada, K., Hanafusa, T., Oikawa, S., Yoshimatsu, H., Nakao, K., Sakata, T., Matsuzawa, Y., Tanaka, K., Kamatani, N., and Nakamura, Y.: J. Hum. Genet., 53, 857–862 (2008).
- Tomita, Y., Asano, H., Izawa, H., Yokota, M., Kobayashi, T., and Honda, H.: *IPSJ Digital Courier*, 2, 691–709 (2006).
- 6) McCarthy, M. I., Abecasis, G. R., Cardon, L. R., Goldstein, D. B., Little, J., Ioannidis, J. P., and Hirschhorn, J. N.: *Nat. Rev. Genet.*, **9**, 356–369 (2008).
- 7) http://clinicaltrials.gov/ct2/show/NCT00408824
- 8) Ye, Z., Liu, E. H., Higgins, J. P., Keavney, B. D., Lowe, G. D., Collins, R., and Danesh, J.: *Lancet*, **367**, 651–658 (2006).
- 9) Mar, R., Pajukanta, P., Allayee, H., Groenendijk, M., Dallinga-Thie, G., Krauss, R. M., Sinsheimer, J. S., Cantor, R. M., de Bruin, T. W., and Lusis, A. J.: *Circ. Res.*, **94**, 993–999 (2004).
- 10) Yaturu, S., Bridges, J. F., and Subba Reddy, D. R.: *Med. Sci. Monit.*, **12**, CR17–CR20 (2006).
- 11) Wang, J., Li, H., Franco, O. H., Yu, Z., Liu, Y., and Lin, X.: *Obesity*, **16**, 172–178 (2008).
- Hivert, M. F., Manning, A. K., McAteer, J. B., Florez, J.
  C., Dupuis, J., Fox, C. S., O'Donnell, C. J., Cupples, L.
  A., and Meigs, J. B.: *Diabetes*, 57, 3353–3359 (2008).
- 13) Iwashima, Y., Katsuya, T., Ishikawa, K., Kida, I., Ohishi, M., Horio, T., Ouchi, N., Ohashi, K., Kihara, S., Funahashi, T., Rakugi, H., and Ogihara, T.: *Hypertension*, **45**, 1094–1100 (2005).
- 14) The Wellcome Trust Case Control Consortium.: *Nature*, 447, 661–678 (2007).